Boletim Técnico da Escola Politécnica da USP Departamento de Engenharia de Energia e Automação Elétricas

ISSN 1413-2214 BT/PEA/0411

Modelo Computacional do Sistema de Conversão de Energia Eólica Equipado com Gerador de Indução

Marcelo Moraes Aderbal de Arruda Penteado Junior

São Paulo - 2004

1440793

O presente trabalho é um resumo da dissertação de mestrado apresentada por Marcelo Moraes, sob orientação do Prof. Dr. Aderbal de Arruda Penteado Junior: "Modelo Computacional do Sistema de Conversão de Energia Eólica Equipado com Gerador de Indução", defendida em 18/02/2004, na EPUSP.

A íntegra da dissertação encontra-se à disposição com o autor e na biblioteca de Engenharia de Eletricidade da Escola Politécnica da USP.

FICHA CATALOGRÁFICA

Moraes, Marcelo

Modelo computacional do sistema de conversão de energia eólica equipado com gerador de indução / Marcelo Moraes, Aderbal de Arruda Penteado Junior. -- São Paulo : EPUSP, 2004.

- 11 p. (Boletim Técnico da Escola Politécnica da USP, Departamento de Engenharia de Energia e Automação Elétricas ; BT/PEA/0411)
- 1. Energia eólica 2. MATLAB 3. Máquinas assincronas I. Penteado Junior, Aderbal de Arruda II. Universidade de São Paulo. Escola Politécnica. Departamento de Engenharia de Energia e Automação Elétricas III. Título IV. Série CDD 621.312136 ISSN 1413-2214

005 621.3136

MODELO COMPUTACIONAL DO SISTEMA DE CONVERSÃO DE ENERGIA EÓLICA EQUIPADO COM GERADOR DE INDUÇÃO

Marcelo Moraes USP

Aderbal de Arruda Penteado Junior USP

Resumo: A geração de energia a partir de fontes alternativas e renováveis tem apresentado um acentuado crescimento nas últimas duas décadas; e entre as fontes de energia estudadas, pesquisadas e implantadas nos últimos anos, a energia eólica é considerada uma das mais promissoras. Com o desenvolvimento da eletrônica de potência e o surgimento de materiais mais leves e resistentes, a potência das turbinas eólicas vem aumentando constantemente, proporcionando configurações para diversas condições de funcionamento, principalmente para aplicações de sistema de conversão em velocidade variável. Deste modo, à configuração de sistemas conversores de energia eólica, equipados com geradores de indução tem prevalecido, devido à sua flexibilidade de operação quando comparada com outros tipos de máquinas (síncrona e corrente contínua). Este trabalho apresenta um modelo computacional de um SCEE equipado com gerador de indução duplamente alimentado pelo rotor e conectado à rede elétrica através de um conversor eletrônico de potência; essa é uma configuração teórica adotada para um sistema de conversão VVFC - Velocidade Variável e Frequência Constante. O modelo computacional foi desenvolvido através dos blocos da caixa de ferramentas do Simulink -

"... no vento há energia..." "...o vento não conhece fronteiras..."

PALAVRAS-CHAVE: Fontes Alternativas, Energia Eólica, Gerador de Indução, Matlab-Simulink.

COMPUTATIONAL MODEL OF THE WIND POWER CONVERSION SYSTEM EQUIPED WITH INDUCTION GENERATOR

During the past two decades, power generation from both alternative and renewable sources has shown a considerable development. Among these sources of energy, wind power is considered as one of the most promising alternatives. With the continuous development of power electronics along with the arrival of lighter but stronger materials, the capacity of wind turbines is also in a continuous increase; thus, providing various arrangements for different operating conditions. The main arrangement aiming to the application of converter systems with variable speed. In this way, the wind power converter systems, equipped with induction generators, have been prevailing due to their operation flexibility when compared to other types of machines (synchronous and dc machines). In this work, a computational model of the a SCEE equiped with induction generator double fed wound-rotor connected to the network through a power converter, is presented. This is a theoretical configuration adopted for a system VSCF - Variable Speed, Constant Frequency. The computational model was developed using the Matlab Programe (Simulink Blockset - SymPower Systems). "... in the wind exists energy..." "... the wind has not been to borders...

KEYWORDS: Alternative Sources, Wind Power, Induction Generator, Matlab-Simulink.

1. Introdução

A energia elétrica gerada por um SCEE para ser entregue à rede elétrica depende de alguns fatores específicos. Esses fatores dizem respeito a: características do vento (recurso eólico) no local da instalação do SCEE; características do tipo de configuração do SCEE tais como: tipo de gerador elétrico e a forma de conexão na rede elétrica (direta ou através de conversores de potência); e as características da rede elétrica no ponto de

Os sistemas conversores de energia eólica têm seus esquemas de conversão de energia divididos e classificados de acordo com a velocidade de controle da turbina e a frequência de saída do gerador elétrico.

- VCFC velocidade constante e frequência constante.
- VVFV velocidade variável e frequência variável.
- VVFC velocidade variável e frequência constante.

As configurações atuais utilizam dois tipos de geradores elétricos; geradores assíncronos e geradores síncronos de baixa velocidade (grande número de pares pólos) [2][3][4].Os geradores de corrente contínua não têm sido considerados atualmente, devido ao elevado custo de fabricação e a constante necessidade de manutenção no comutador da máquina [2].

Este trabalho trata apenas do sistema VVFC.

Para os sistemas eólicos com velocidade variável, a conexão com a rede elétrica é realizada através de retificadores e conversores de potência. A conexão estática permite o controle de potência reativa, o amortecimento das flutuações de potência decorrentes da variação do vento, a diminuição da injeção de harmônicos na rede elétrica e a operação com maior eficiência energética o que facilita a integração entre redes fracas [1].

Os SCEE instalados no Brasil utilizam geradores síncronos conectados diretamente a um retificador não controlado, de modo a garantir um fator de potência elevado, a potência de saída do retificador é injetada na rede elétrica através de um conversor de potência. Normalmente este tipo de configuração utiliza um gerador síncrono com elevado número de pares de pólos sem caixa de engrenagens.

A figura 1 ilustra um SCEE (modelo E-40) instalado no Brasil pela empresa Wobben Enercon.

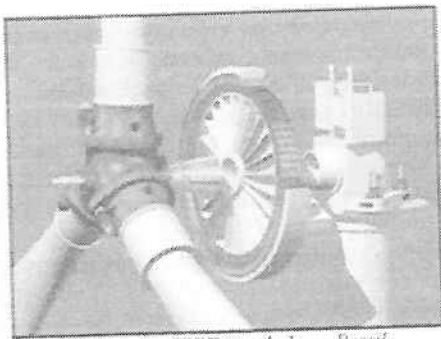
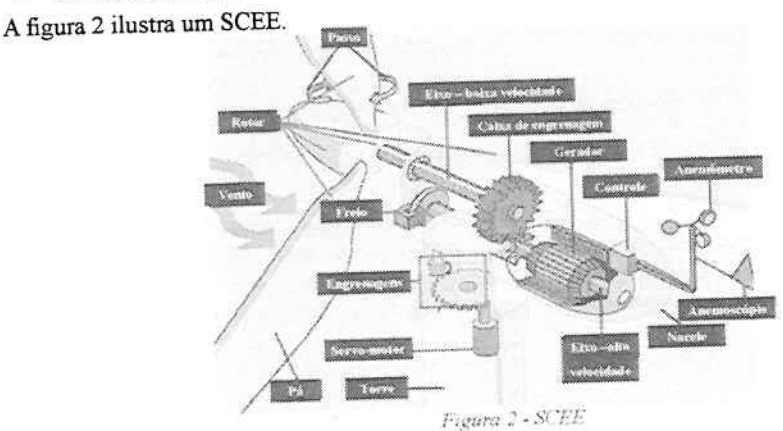


Figura 1 – SCEE instalado no Brasil

2. Descrição do SCEE

Um Sistema de Conversão de Energia Elétrica (SCEE) tem com finalidade à geração de eletricidade a partir da energia cinética captada na movimentação do ar (vento) [4]; os principais componentes que constituem um SCEE são:

- Sistema captador de vento (eixo, pás e cubo).
- Sistema de transmissão de força (caixa de engrenagens).
- Sistema elétrico/conversor.
- Sistema de controle.
- Sistema de freio.
- Sistema estrutural.



A turbina eólica é formada por um conjunto de pás que constitui a hélice do rotor é este o componente responsável pela captação da energia do vento convertendo-a em energia mecânica. A transmissão é o mecanismo que transmite a energia mecânica do eixo da turbina para o eixo do gerador elétrico; a transmissão pode ser direta ou feita através de caixa de engrenagens com o intuito de aumentar a rotação do eixo do gerador elétrico. O gerador elétrico é o componente que tem a finalidade de converter a energia mecânica em energia elétrica. O sistema de controle é constituído por uma série de sensores e atuadores que fornecem as informações que permitem o funcionamento seguro de todo o SCEE com o melhor aproveitamento possível do vento, é no sistema de controle que está o cérebro do SCEE. A estação de medição do vento é uma pequena estação meteorológica que monitora e informa o sistema de controle as características do vento e das condições atmosféricas; é constituído por anemômetros e anemoscópios. O suporte estrutural é formado pela nacele que envolve todo os equipamentos e pela torre de sustentação. O conversão de energia é constituído por retificadores e inversores de potência que fazem a conexão do SCEE com à rede elétrica.

A figura 3 apresenta o diagrama de blocos genérico de um SCEE com sistema de conversão VVFC.

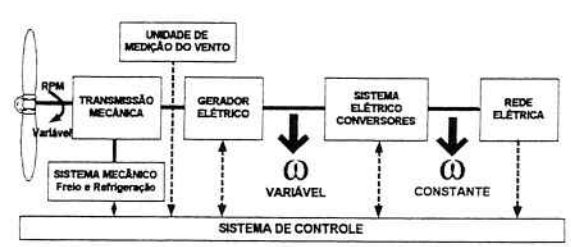


Figura 3 - Diagrama de Blocos do SCEE

3. Descrição do SCEE equipado com gerador de indução duplamente alimentado pelo rotor.

O sistema de geração de eletricidade do SCEE apresentado neste trabalho é constituído pelos seguintes equipamentos principais:

- Turbina eólica de 3 pás e eixo horizontal.
- Gerador de indução de rotor bobinado com duplo enrolamento.
- Conversor CA-CC constituído por dois retificadores trifásicos com comutação natural.
- Conversor CC-CA constituído por IGBT's comutação forçada com controle PWM.
- Filtros CC e CA.

A figura 4 apresenta o esquema elétrico básico do SCEE estudado neste trabalho.

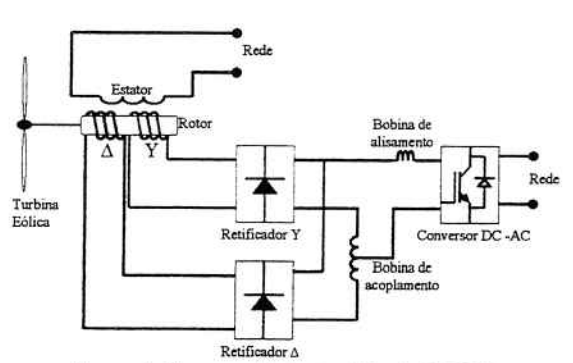


Figura 4 - Esquema elétrico simplificado do SCEE

Na configuração do SCEE estudada é utilizado um gerador de indução de rotor bobinado com duplo enrolamento.

O enrolamento do estator é conectado diretamente a rede elétrica trifásica; enquanto que o duplo enrolamento do rotor em conexões estrela e triângulo é conectado a um retificador CA – CC, esta configuração permite reduzir o conteúdo harmônico [2] das correntes do rotor refletidas nos valores de corrente que o estator injeta na rede elétrica.

O número de espiras do enrolamento com ligação em triângulo é $\sqrt{3}$ maior que o número de espiras do enrolamento com ligação em estrela; isso garante que a tensão de entrada em cada retificador seja de mesma amplitude.

Os dois retificadores são associados em paralelo através de uma bobina de acoplamento conectada entre os terminais negativos de cada retificador.

Também é utilizada uma bobina de alisamento na entrada do inversor de corrente com o objetivo de garantir que a corrente que circula pelo barramento intermediário em corrente contínua seja constante.

O conversor CC – CA utilizado no estudo é do tipo inversor de corrente com comutação forçada, constituído por semicondutores IGBT's, os terminais de saída do conversor são ligados a um filtro de corrente que se conecta à rede elétrica.

3.1 A Turbina Eólica

As turbinas eólicas são máquinas que extraem energia dos ventos, transformando a energia cinética em energia mecânica [6]. A potência eólica disponível para uma turbina é a energia cinética associada a uma massa

de ar que se desloca com uma velocidade uniforme e constante. Essa massa de ar atravessa uma secção plana transversal (área de captação da turbina) disponibilizando uma determinada potência.

A Potência Eólica Disponível é dada pela equação :

onde:
$$P_{v} = \frac{1}{2} \cdot \rho \cdot A \cdot V^{3}$$

$$V : \text{ velocidade do vento (m/s)}$$

$$A : \text{ área de captação (m²)}$$

Potência Eólica Utilizável

Como ocorre para todas as fontes de energia um dos principais critérios a ser considerado é o quanto de energia natural pode ser convertida em energia elétrica. As pás das turbinas eólicas modernas possuem perfis aerodinâmicos semelhantes aos das asas dos aviões. O perfil aerodinâmico é importante em diversos estágios da operação, especialmente no que diz respeito à **força de sustentação** (L).

Deste modo, entende-se que de toda a potência disponível do vento, apenas parte dela pode ser extraída para geração de energia, e essa parte é quantificada pelo coeficiente de potência (C_P), isto é, a relação entre a potência disponível e a utilizável. O máximo rendimento teórico de uma turbina eólica é de aproximadamente 59,26%, este valor teórico é conhecido como *Limite de Betz*.

O rendimento total ($Cp \times \eta$) resulta significativamente menor, uma vez que os demais componentes mecânicos e elétricos da turbina eólica apresentam perdas de potência. Os valores mais altos de ($Cp \times \eta$) que atualmente podem ser alcançados estão entre 40 e 50% da potência do vento. A potência produzida por um SCEE é determinada pela seguinte equação:

$$P_{SCEE} = P_{v} \cdot (C_{p} \cdot n_{SCEE}) \tag{2}$$

3.2 Gerador de Indução

Para compreender o funcionamento da máquina assíncrona como gerador de indução deve-se procurar entender primeiro seu funcionamento como motor de indução. Quando os terminais dos enrolamentos do estator são conectados a uma rede elétrica conveniente, circula uma corrente reativa entre a rede elétrica e o enrolamento do estator. A circulação desta corrente gera um campo eletromagnético girante no estator que gira a uma velocidade denominada velocidade síncrona (Ns). A velocidade com que o campo girante se movimenta depende da freqüência (f) da rede elétrica e do número de pólos (p) da máquina.

Esta relação pode ser observada na equação:

$$N_{s} = \frac{120 \cdot f}{n} \tag{3}$$

A máquina assíncrona pode operar como gerador ou motor de indução de acordo com a diferença de velocidades estabelecida entre do campo girante do estator e o rotor. Essa diferença de velocidade é denominada de escorregamento (s).

$$s = \frac{N_s - N}{N_s} \tag{4}$$

A força magnetomotriz (f.e.m.) girante do estator produz um fluxo magnético no entreferro da máquina. Este fluxo, através de indução eletromagnética induz uma tensão alternada no rotor, de modo a estabelecer circulação de corrente elétrica.

Quando a máquina assíncrona é acoplada a uma máquina primária como, por exemplo, uma turbina eólica, de tal modo que a velocidade do rotor seja superior a do campo girante estabelecido no estator (N > N_s), fazendo com que o escorregamento seja negativo, o sentido da f.e.m. induzida coincide com o sentido da componente ativa da corrente do estator, ao invés de se opor a ela, quando da operação como motor. Pode-se dizer que esta situação serve para indicar a mudança na condição de operação da máquina assíncrona de motor para gerador.

À medida que o escorregamento, agora negativo cresce, aumenta a reatância indutiva do rotor, aumentando a defasagem entre a força eletromotriz e a corrente do rotor. O gerador de indução fornece uma corrente ativa à rede elétrica e recebe desta, uma corrente reativa atrasada.

3.3 Conversor CA-CC

Um retificador trifásico de comutação natural, constituído por diodos realiza a conversão da corrente alternada em corrente contínua, estabelecendo assim um barramento intermediário em corrente contínua.

A potência do rotor do gerador de indução para ser injetada na rede elétrica, precisa ter asseguradas determinadas características (tensão e frequência), para controlar isso é necessário estabelecer um barramento intermediário em corrente contínua, antes de reconverter a potência em corrente alternada (com valores seguros) e injetá-la na rede elétrica através do conversor de potência.

Esse "elo" em corrente contínua é obtido através da conexão de um retificador trifásico nos terminais dos enrolamentos rotóricos do gerador de indução.

A figura 5 apresenta o esquema elétrico simplificado da conexão dos retificadores que constituem o conversor CA-CC, responsável pela conversão da tensão do rotor com amplitude e frequência variáveis em corrente contínua.

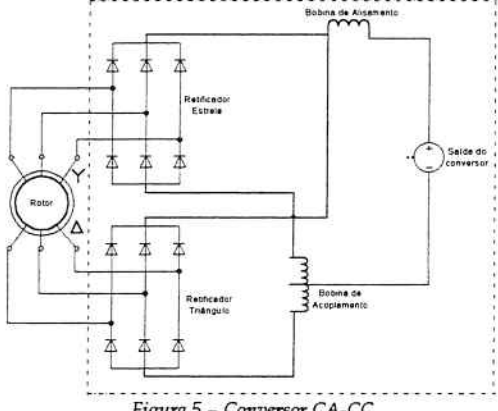


Figura 5 - Conversor CA-CC

Os dois retificadores são associados em paralelo, sendo que o terminal negativo de cada retificador é conectado a uma bobina de acoplamento, responsável por manter constante e limitar a corrente que circula entre os retificadores. A bobina de acoplamento tem a função de evitar que em algum instante um dos diodos que compõem os retificadores seja contrapolarizado (não entra em condução) devido a circulação de corrente entre os conversores, imposta pela elevação momentânea de tensão em um dos retificadores.

Na saída do conversor CA - CC é conectada uma bobina de alisamento (filtro) de modo a garantir que a corrente fornecida (Icc) seja praticamente constante e que não dependa da tensão de carga (Ecc), com isso pode-se também conhecer a forma de onda da corrente nos terminais dos retificadores [2].

A figura 6 ilustra o esquema elétrico simplificado do sistema de conversão de tensão aplicado no SCEE.

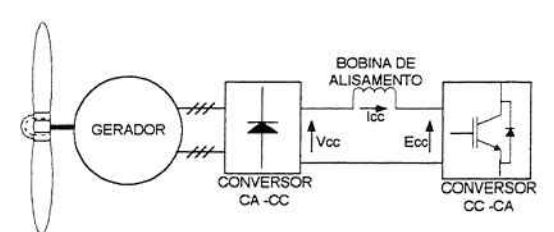


Figura 6 - Esquema elétrico simplificado dos conversores

O retificador utilizado no sistema regenerativo de energia é do tipo não controlado, portanto a tensão (Vcc) depende diretamente da tensão injetada pelos enrolamentos do rotor, fazendo com que a corrente (Icc) seja controla pela tensão de carga (Ex). Esta condição é de extrema importância na escolha do tipo de inversor de potência a ser utilizado [2].

A tensão média pode ser determinada através da equação (5).

$$\overline{V_{CC}} = \frac{3\sqrt{2}}{\pi} \cdot V_{linha} \tag{5}$$

3.4 Conversor CA-CC

Na análise da configuração do SCEE proposta para o esquema de conversão com velocidade variável e freqüência constante, também é utilizado um conversor CC – CA, que visa adequar os valores de tensão e freqüência aos requisitos da rede elétrica.

Neste trabalho é analisado um conversor de potência CC – CA constituído por um inversor de corrente com comutação forçada que utiliza semicondutores IGBT. O inversor é comandado através da técnica de modulação por largura de pulsos (PWM).

A utilização de um inversor de corrente justifica-se pelo fato de ser mais simples conectar uma fonte de corrente (inversor de corrente) em paralelo com uma fonte de tensão (rede elétrica) do que duas fontes de tensão (inversor de tensão e rede elétrica) em paralelo, devido ao fluxo de corrente entre as fontes [2]; outra importante razão é o fato da bobina de alisamento impor uma determina corrente nos terminais de entrada do inversor.

Na configuração adotada, o conversor CC - CA não impõe e não controla a tensão, seu funcionamento consiste apenas em seguir a tensão imposta pela rede elétrica e para este perfil de funcionamento o inversor de corrente é o que apresenta melhor desempenho [2].

O inversor de corrente é um dispositivo eletrônico que converte a corrente continua em corrente alternada, com valores adequados à rede elétrica em que se conecta.

A conversão da corrente é realizada através do chaveamento (liga - desliga) dos transistores (IGBT), de modo a alternarem o sentido da corrente na saída do conversor.

O modelo elétrico do conversor CC - CA é ilustrado pela figura 7.

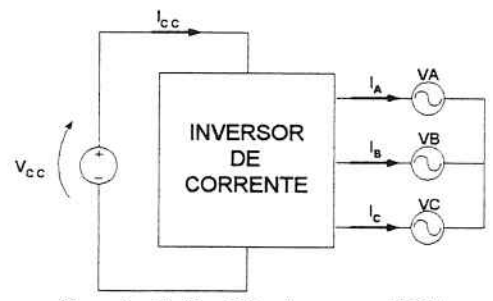


Figura 7 - Modelo elétrico do conversor CC-CA

O modelo do conversor CC - CA, conforme ilustrado na figura 8, é representado pelo inversor de corrente conectado a um sistema de tensões trifásico equilibrado, e alimentado por uma fonte de tensõe continua.

Da análise do modelo do conversor CC – CA, é possível determinar as seguintes grandezas: Grandezas do lado contínuo:

$$I_{CC}(t) = I_{CC} \tag{6}$$

$$\overline{V_{CC}} = \sqrt{\frac{3}{2}} \cdot im \cdot V_{\text{max}} \cdot \cos(\theta) \tag{7}$$

Os valores de tensão nas fases A, B e C, abaixo determinadas, são grandezas da rede elétrica que não dependem do inversor.

$$V_{A} = V_{\text{max}} \cdot \text{sen}(\omega t) \tag{8}$$

$$V_B = V_{\text{max}} \cdot \text{sen}(\omega t + 120) \tag{9}$$

$$V_C = V_{\text{max}} \cdot \text{sen}(\omega t - 120) \tag{10}$$

Os valores de corrente a serem injetados na rede elétrica, controlados pelo inversor, são os seguintes:

$$I_{A} = I_{CC} \cdot im \cdot sen(\omega t - \theta) \tag{11}$$

$$I_B = I_{CC} \cdot im \cdot sen(\omega t - \theta + 120) \tag{12}$$

$$I_C = I_{CC} \cdot im \cdot \text{sen}(\omega t - \theta - 120) \tag{13}$$

A relação entre as potências ativa e reativa injetadas na rede elétrica, é determinada pela defasagem (θ) entre os ângulos da corrente de saída do inversor e da tensão da rede elétrica.

Se a corrente de entrada (I_{cc}) não depender do inversor, o fluxo de potência ativa (P) e a potência reativa (Q) pode ser controlado de modo independente, através do índice de modulação (im) e do ângulo de defasagem (θ).

Deste modo as potências ativa e reativa podem ser encontradas por:

$$P = \sqrt{\frac{3}{2}} \cdot I_{cc} \cdot V_{max} \cdot im \cdot \cos(\theta)$$
 (14)

$$Q = \sqrt{\frac{3}{2}} \cdot I_{CC} \cdot V_{\text{max}} \cdot im \cdot \text{sen}(\theta)$$
 (15)

Princípio de funcionamento do SCEE equipado com gerador de indução duplamente alimentado pelo rotor.

O princípio de funcionamento é baseado no controle da velocidade de rotação do gerador, através do controle da potência nos terminais do rotor. O objetivo é recuperar e utilizar a energia dissipada no enrolamento rotórico, fazendo com que a mesma antes dissipada na forma de calor, seja agora retirada dos enrolamentos do rotor e injetada na rede elétrica, o que é possível através de um sistema eletrônico de recuperação de energia conectado nos terminais do rotor do gerador de indução [2][3].

A ligação de um sistema eletrônico de recuperação de energia ao rotor do gerador de indução modifica os valores de resistência vista pelos seus terminais, impondo valores de carga que possibilitam a retirada maior ou menor de potência do rotor que será injetada na rede elétrica, essa carga "virtual" imposta nos terminais do rotor é que possibilita controlar sua rotação e assim manter dentro de valores adequados os níveis de potência, tensão e freqüência a serem entregues à rede elétrica. O modelo elétrico é apresentado pela figura 8.

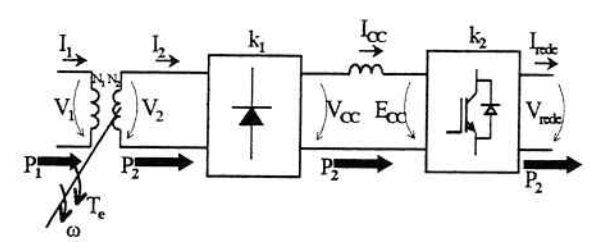


Figura 8 - Modelo elétrico do SCEE

A tensão (V2) nos terminais do enrolamento do rotor da máquina assíncrona depende dos seguintes parâmetros:

- Velocidade de rotação da máquina (ω) e do seu escorregamento (s)
- Tensão de alimentação do estator (V₁).
- Relação de transformação; razão entre o número de espiras do estator (N₁) e do rotor (N₂).

Quando a máquina assíncrona está parada a tensão do rotor (V_2) é igual à tensão do estator (V_1) multiplicada pela relação de transformação (N_2/N_1) e a freqüência do rotor (f_2) também é igual à freqüência do estator (f_1) . Nesta condição estacionária a máquina assíncrona funciona como um transformador de potência.

Com a máquina assíncrona ganhando velocidade e aumentando sua rotação, a tensão no rotor (V_2) e sua frequência (f_2) diminuem até que seja atingida a velocidade de sincronismo (ω_a) , quando a tensão no rotor passa a ser igual a zero.

Se o rotor da máquina assíncrona continua a acelerar, ultrapassando a velocidade de sincronismo (ω_s) a tensão no rotor (V_2) e sua freqüência (f_2) também começam a aumentar de valores, quando a velocidade do rotor (ω) é exatamente o dobro da velocidade de sincronismo, os valores de tensão e freqüência do rotor são iguais aos valores de tensão e freqüência do estator.

A figura 9 ilustra o fluxo de potências do SCEE.

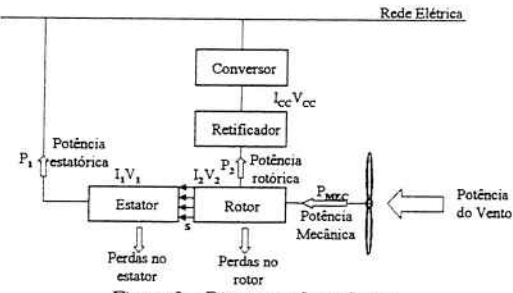


Figura 9 – Diagrama de potências

A potência mecânica (P_{mec}) transferida da turbina eólica para o eixo do gerador de indução é transformada em potência elétrica nos enrolamentos do estator (P_1) e do rotor (P_2). A potência estatórica é enviada diretamente para à rede elétrica enquanto que a potência rotórica que normalmente seria dissipada na forma de calor dentro do gerador é recuperada e reenviada à rede através dos conversores de potência [3]. A distribuição da potência entre rotor e estator é proporcional ao escorregamento da máquina assíncrona.

A potência (P1) enviada pelo estator é dada pela equação:

$$P_1 = \frac{P_{MEC}}{1 - s} \tag{16}$$

A potência do rotor (P2) enviada a rede é:

$$P_2 = \frac{s}{1 - s} \cdot P_{MEC} \tag{17}$$

Deve ser observado que a potência rotórica é composta de duas parcelas: a potência dissipada nos enrolamentos do estator (P_{d2}) e a potência recuperada (P_{r2}) .

$$P_2 = P_{d2} + P_{r2} \tag{18}$$

A potência mecânica é dada por:

$$P_{mec} = P_1 - P_2 \tag{19}$$

A potência enviada à rede pelos conversores também pode ser determinada pela tensão e corrente que circula pelo barramento contínuo.

$$P_{conv} = V_{CC} \cdot I_{CC} \tag{20}$$

A figura 10 apresenta o comportamento da potência entregue a rede pelo estator e pelo rotor para escorregamento negativo (máquina assíncrona operando como gerador).

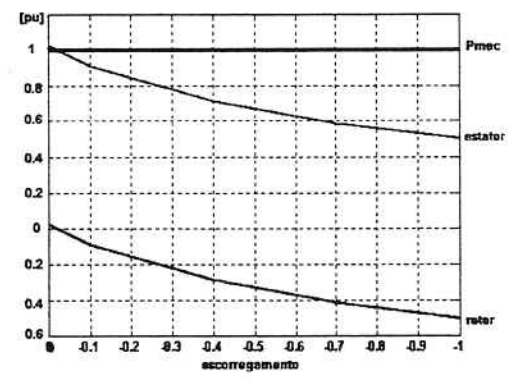


Figura 10 - Curva de potência do rotor e do estator em função do escorregamento.

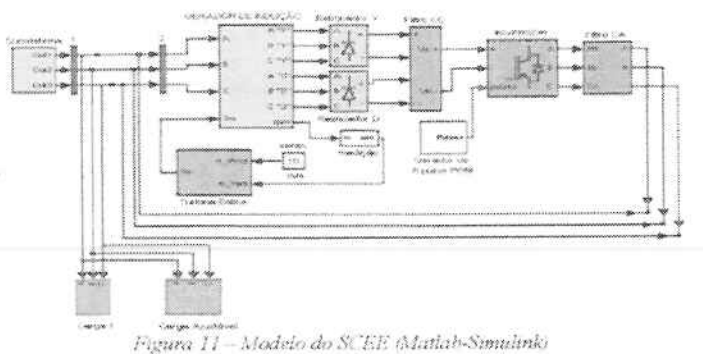
Modelo computacional do SCEE equipado com gerador de indução.

5.1 Geral

Para que seja possível analisar as curvas características de funcionamento e a aplicação do SCEE, é necessário recorrer a um modelo matemático, e a um modelo elétrico computacional que possibilite avaliar seu comportamento em situações pré-determinadas, tais como: tipo de conexão à rede elétrica, variações na velocidade do vento, variações na carga e variações na rede elétrica.

As situações modeladas e as análises conclusivas são obtidas através de simulações utilizando o programa Simulink – MatLab, a caixa de ferramentas utilizada é o Simulink Blockset - SymPower Systems.

O modelo do SCEE equipado com gerador de indução duplamente alimentado pelo rotor é ilustrado pela figura 11.



5.2 Descrição da simulação

O SCEE é analisado em condições normais de funcionamento, vento constante, carga fixa e rede elétrica estável.

Para gerar as simulações em três condições normais de funcionamento, a turbina eólica é acionada com uma velocidade de vento constante fixada em 8, 10 e 12m/s, são também conectadas duas cargas no sistema, uma carga fixa de 50 kW e uma carga ajustável até 400 kW; isto é necessário para garantir que toda a energia produzida pelo SCEE seja consumida e se obtenha assim os valores das grandezas elétricas pertinentes para cada faixa da operação, de acordo com a velocidade de funcionamento da turbina.

Foram monitoradas as tensões e correntes de cada bloco do sistema, assim como as potências ativa e reativa geradas e/ou absorvidas pelo SCEE.

O diagrama de blocos apresentado na figura 12 indica os pontos e as grandezas elétricas que foram monitoradas na simulação.

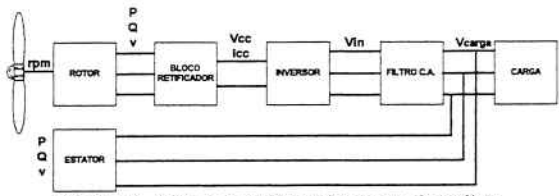


Figura 12 - Diagrama de blocos dos pontos de medição

A curva característica da turbina eólica adotada para a simulação é ilustra pela figura 13.

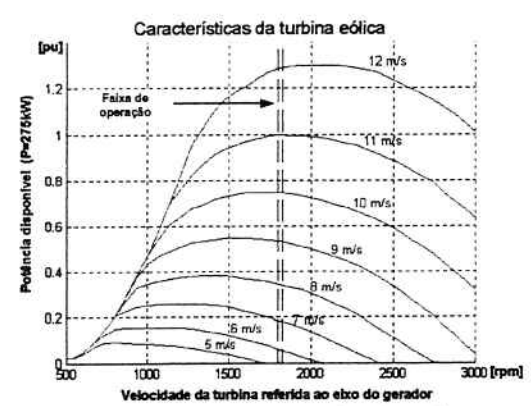
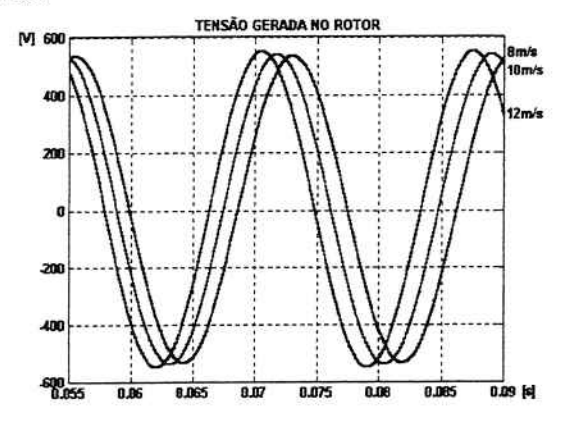
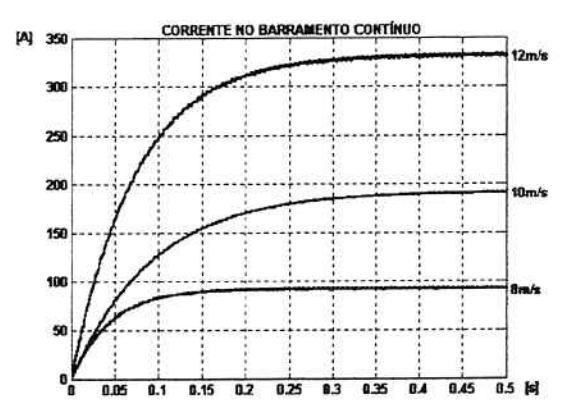


Figura 13 – Curva característica da turbina eólica

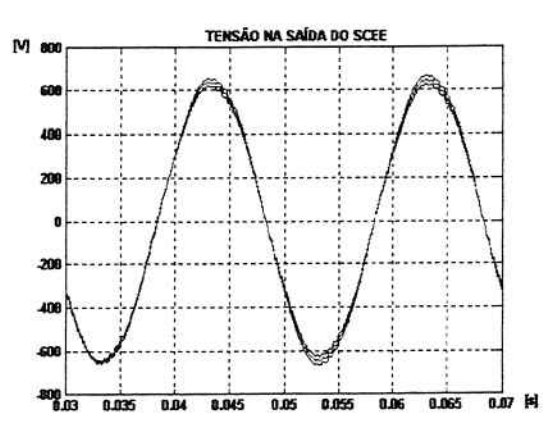
Os gráficos obtidos da simulação são mostrados a seguir, as curvas de corrente injetada na rede elétrica e as curvas de potência ativa são referentes à energia recuperada pelo rotor.



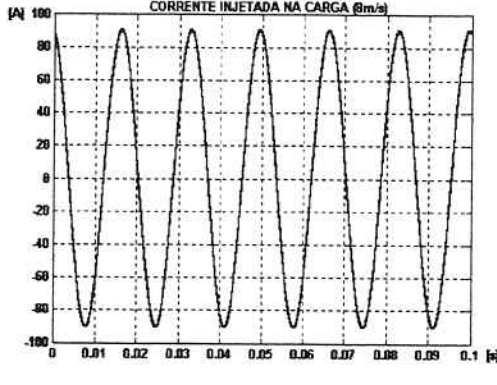
Tensão gerada no rotor



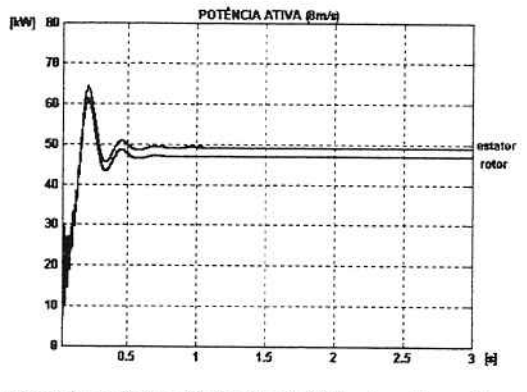
Corrente no barramento contínuo na saída do retificador



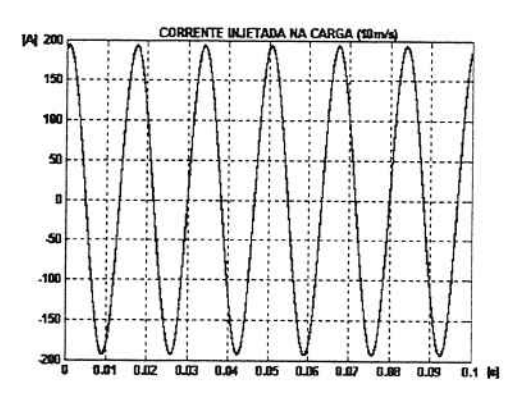
Tensão na saída do conversor CA-CC do SCEE



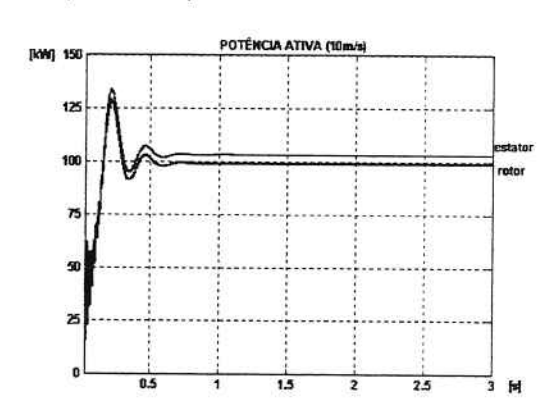
Corrente injetada pelo conversor CA_CC



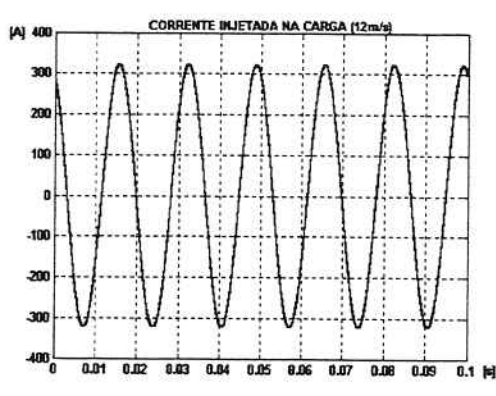
Comportamento da potência ativa dividida entre rotor e estator



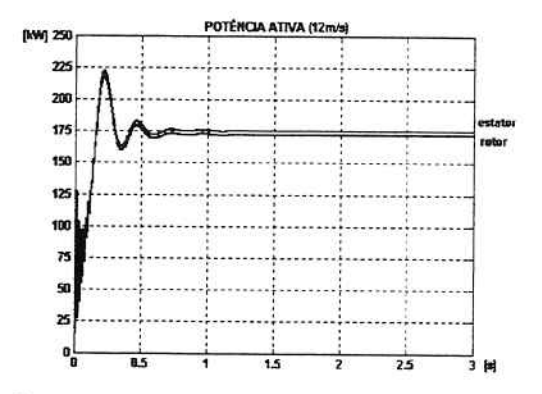
Corrente injetada pelo conversor CA_CC



Comportamento da potência ativa dividida entre rotor e estator



Corrente injetada pelo conversor CA_CC



Comportamento da potência ativa dividida entre rotor e estator

Tabela com os valores obtidos na simulação quando o SCEE é acionado com ventos de 8, 10 e 12 m/s

V _V (m/s)	P _{mec} (kW)	P ₁ (kW)	P ₂ (kW)	Q ₁ (kVAr)	Q ₂ (kVAr)	V ₁ (V)	V ₂ (V)	V _{CC} (V)	I _{CC} (A)	V _{rede} (V)	I _{rede}	N (rpm)
8	98	49	47	-36	26	480	378	510	91	480	64	3520
10	206	102	98	-74	53	480	382	515	191	480	134	3539
12	357	174	171	-126	87	480	389	525	326	480	230	3567

^{1 -} Estator

^{2 -} Rotor Vcc - Barramento continuo

6. Conclusões

O objetivo deste trabalho foi o de apresentar a energia eólica e seu sistema conversor de energia "SCEE" como uma alternativa de pesquisa, que possibilitasse a utilização de recursos naturais de nosso planeta sem afetar o seu equilíbrio ecológico; estudar através de um modelo computacional (Simulink – Matlab), dispositivos e configurações que permitam a geração de energia elétrica com fontes de energia de potência variável utilizando geradores de velocidade variável e freqüência fixa.

Um modelo computacional foi elaborado para analisar o funcionamento do SCEE para diferentes velocidades de vento e consequentemente os valores de potência disponível.

A energia eólica, como a maior parte das fontes de energia alternativas e renováveis, apresenta o problema da incerteza da disponibilidade da energia resultante; deve neste caso ser aproveitada como uma fonte de energia secundária e complementar à energia hidráulica (cenário brasileiro).

A simulação demonstrou que a potência extraída do gerador de indução depende das condições do vento validando a proposta inicial do trabalho que era a de criar um modelo utilizando os blocos do programa computacional "Simulink - Matlab" que fossem capazes de demonstrar essa situação.

O fluxo de potência ativa e reativa entre o SCEE e a carga é condicionado pela relação entre a tensão no barramento contínuo e a tensão da carga.

Desenvolver um modelo computacional que permita simular também o funcionamento do SCEE considerando o tipo de turbina e sua forma de controle de potência e rotação, assim como os componentes eletromecânicos que realizam o trabalho de acoplamento e transmissão de potência mecânica entre o rotor da turbina eólica e o rotor do gerador de indução é uma proposta para trabalhos futuros.

Este trabalho também pretende contribuir para a continuidade dos estudos baseados em sistemas conversores de energia eólica e estimulá-los.

7. Referências:

- [1] ROSAS, P.A.C.; ESTANQUEIRO, A.I. Guia de projeto elétrico de centrais eólicas CBEE Recife 2003.
- [2] RAMOS, J.C.; et.at. Current Source Inverter for a 400 kW Ocean Waves Induction Generator. Universidade do Porto. 1997.
- [3] SMITH, G.A.; NIGIM, K. A multi-function electrical generator for a wind turbine. Wind Engineering. v.12; n.6; Multi-science publishing CO.Ltd. United Kingdom 1988.
- [4] LUNDBERG, S. Configuration study of large Wind parks. Dissertação de mestrado. In: Chalmes University Technology . Güterborg ,Suiça. 2003.
- [5] REIS, L.B. Geração de energia elétrica. São Paulo: Tec-Art editora Ltda, 1998. 223p
- [6] FARRET, F.A. Aproveitamento de pequenas fontes de energia elétrica. Santa Maria: Editora da UFSM, 1999. 245p
- [7] IEEE Std 1094-1991 Recommended practice for the electrical design and operation of wind farm generating stations IEEE/ Standarts coordinating committee 23. Abril 1991.
- [8] SENJYU, T.; et al. Stability Análisis of Wind Power Generating System. IEEE POWER CONVERSION CONFERENCE – Osaka 2002. ICC Proceedings. Piscataway: IEEE, 2002. v.3, p.1441-1446. ISBN: 0-7803-7156-9.

Wind Energy Conversion – 1988 Procedings of the British Energy Association Conference – London 22/24 March 1988

BETZ, A.– Wind Energie und thre Ausnutzung durch Windmühlen. Okobuch Verl-1982-V-64p. ISBN 3.922964.11.7



BOLETINS TÉCNICOS - TEXTOS PUBLICADOS

- BT/PEA/9301 Alguns Aspectos do Problema de Planejamento de Sistemas de Transmissão sob Incertezas CARLOS MARCIO VIEIRA TAHAN, ERNESTO JOÃO ROBBA
- BT/PEA/9302 Vibrações em Motores Elétricos Provocadas por Forças Magnéticas ORLANDO SILVIO LOBOSCO , HENRIQUE PRADO ALVAREZ
- BT/PEA/9303 Corrente Continua em Alta Tensão: Aplicação de Equipamentos Elétricos e Modelos para Análises de Confiabilidade LINEU BELICO DOS REIS
- BT/PEA/9504 Automação e Informatização Aplicadas a Controle e Supervisão de Processos de Pesagem EVALDO ARAGÃO FARQUI, EDUARDO MÁRIO DIAS
- BT/PEA/9505 Modernização e Reabilitação de Usinas Hidrelétricas DJALMA CASELATO, ADERBAL DE ARRUDA PENTEADO JR.
- BT/PEA/9506 Estudo do Campo Elétrico Provocado por Linhas de Transmissão em Corrente Alternada CELSO PEREIRA BRAZ, JOSÉ ANTONIO JARDINI
- BT/PEA/9507 Aspectos Sobre Processos Automatizados de Pesagem Rodoferroviária: Uma Proposta de Modernização de Postos em Operação SERGIO LUIZ PEREIRA, CÍCERO COUTO DE MORAES
- BT/PEA/9508 Usinas Hidrelétricas em Rotação Ajustável: Novas Premissas para o Planejamento Energético MARCO ANTONIO SAIDEL, LINEU BÉLICO DOS REIS
- BT/PEA/9509 Desenvolvimento de um Sistema de Automação de Subestações pela integração de Módulos de Software e Hardware Existentes no Mercado Brasileiro L. C. MAGRINI, J. A. JARDINI, S. COPELIOVITCH, N. KABA FILHO
- BT/PEA/9510 Proposta de um Modelo para Estudos de Aplicação de Compensadores Estáticos em Sistemas de Potência JOSÉ TOSHIYUKI HONDA, LUIS CERA ZANETTA JÚNIOR
- BT/PEA/9511 Metodologia e Testes para Redução das Distâncias Elétricas entre Fases de Barramentos de Subestações de 138kV Abrigadas, ANDRÉ NUNES SOUZA, ORLANDO SILVIO LOBOSCO
- BT/PEA/9512 Avaliação da Severidade da Poluição para o Dimensionamento da Isolação das Redes Elétricas ARNALDO G. KANASHIRO, GERALDO F. BURANI
- BT/PEA/9513 Processos Auto-Adaptativos para Cálculo de Campos Eletromagnéticos pelo Método dos Elementos Finitos LUIZ LEBENSZTAJN, JOSÉ ROBERTO CARDOSO
- BT/PEA/9514 Investigação Experimental sobre os Arcos Sustentados em Sistemas Elétricos de Baixa Tensão FRANCISCO H. KAMEYAMA, GERALDO F. BURANI
- BT/PEA/9515 Fast Voltage Compensation: A Mean to Improve the Quality of Energy Supply H. ARANGO, JOSÉ ANTONIO JARDINI
- BT/PEA/9516 Modelo Avançado para Planejamento de Sistemas Energéticos Integrados Usando Recursos Renováveis LUIZ ANTONIO ROSSI, LINEU BELICO DOS REIS
- BT/PEA/9601 Metodologias para Planejamento de Sistemas de Distribuição: Estado-da-Arte e Aplicações PAULO ROBERTO NJAIM, CARLOS MARCIO VIEIRA TAHAN
- BT/PEA/9602 Integração de Relés Digitais em Sistemas de Automação de Subestação JERÔNIMO CAMILO SOARES JR., JOSÉ Á. JARDINI, LUIZ C. MAGRINI
- BT/PEA/9603 Paradigma de Planejamento sob Incertezas Aplicação ao Planejamento dos Sistemas de Distribuição de Energia Elétrica ALBERTO BIANCHI JUNIOR, LINEU BELICO DOS REIS
- BT/PEA/9604 Um Sistema de Controle de Velocidade para Motor de Indução Trifásico CELSO KAZUMI NAKAHARADA, ADERBAL DE ARRUDA PENTEADO JR.
- BT/PEA/9605 Controle Vetorial de Motores de Indução, Independente das Alterações de Parâmetros da Máquina NERY DE OLIVEIRA JÚNIOR, WALDIR PÓ
- BT/PEA/9606 Compactação de Subestações de 145 kV Através da Redução das Distâncias entre Fases GERVASIO LUIZ DE CASTRO NETO, ORLANDO SILVIO LOBOSCO
- BT/PEA/9607 Curvas de Carga de Consumidores Industriais Agregação com Outras Cargas RONALDO PEDRO CASOLARI, JOSÉ ANTONIO JARDINI
- BT/PEA/9608 Utilização de Curvas de Carga de Consumidores Residenciais Medidas para Determinação de Diversidade de Carga, e Carregamento de Transformadores de Distribuição EDUARDO LUIZ FERRARI, JOSÉ ANTONIO JARDINI
- BT/PEA/9609 Comportamento Elétrico de Cabos Cobertos e Pré-Reunidos pelo Método dos Elementos Finitos JOÃO JOSÉ DOS SANTOS OLIVEIRA, JOSÉ ROBERTO CARDOSO
- BT/PEA/9701 Repotenciação de Hidrogeradores: Uma Proposta de Metodologia de Análise e Implantação FÁBIO SALOMÃO FERNANDES SÁ, ADERBAL DE ARRUDA PENTEADO JR.

- BT/PEA/9702 Desenvolvimento de um Sistema de Automação para um Sistema de Automação para um Centro de Operação da Distribuição PAULO SÉRGIO MIGUEL SURUR, JOSÉ ANTONIO JARDINI
- BT/PEA/9703 Planejamento da Expansão do Sistema de Distribuição Utilizando Programação Matemática Probabilistica MARIÂNGELA DE CARVALHO BOVOLATO, NELSON KAGAN
- BT/PEA/9704 Técnicas de Inteligência Artificial Aplicadas ao Problema de Planejamento da Expansão do Sistema de Distribuição de Energia Elétrica SALETE MARIA FRÓES, NELSON KAGAN
- BT/PEA/9705 Aproveitamento Funcional de Sistemas de Controle e Proteção Digitais em Subestações de Distribuição JOSÉ LUIZ PEREIRA BRITTES, JOSÉ ANTONIO JARDINI
- BT/PEA/9706 Avaliação de Algorítimo para Proteção Diferencial de Transformadores LUÍS SÉRGIO PIOVESAN, EDUARDO CÉSAR SENGER
- BT/PEA/9707 Sistema de Proteção para Faltas de Alta Impedância CAIUS VINICIUS SAMPAIO MALAGODI, EDUARDO CÉSAR SENGER
- BT/PEA/9708 Um Ambiente para Planejamento da Operação de Sistemas de Distribuição de Energia Elétrica KLEBER HASHIMOTO, NELSON KAGAN
- BT/PEA/9709 Análise do Custo Benefício da Instalação de Equipamentos de Proteção em Redes Aéreas de Distribuição ANTONIO CLAUDINEI SIMÕES, JOSÉ ANTONIO JARDINI
- BT/PEA/9710 Planejamento Integrado de Recursos Energéticos PIR para o Setor Elétrico MIGUEL EDGAR MORALES UDAETA, LINEU BELICO DOS REIS
- BT/PEA/9711 Análise de Defeitos no Motor de Indução Trifásico para Predição de Falhas Incipientes JOSÉ ANTONIO URCIA MISARI, CÍCERO COUTO DE MORAES
- BT/PEA/9712 Gerenciamento de Transformadores de Distribuição com Análise na Perda de Vida CARLOS MÁRCIO VIEIRA TAHAN, VLADIMIR DUARTE BELCHIOR
- BT/PEA/9713 Uma Nova Metodologia para a Avaliação de Sistemas de Aterramento Metro-Ferroviários JOSÉ AUGUSTO PEREIRA DA SILVA, JOSÉ ROBERTO CARDOSO
- BT/PEA/9714 Um Exemplo de Decomposição de Fluxos em Transformadores NICOLAU IVANOV, LUIZ CERA ZANETTA JR.
- BT/PEA/9715 Custos de Transporte de Energia Elétrica Análise de Metodologias DÁRIO TAKAHATA, CARLOS MÁRCIO VIEIRA TAHAN
- BT/PEA/9716 Bancada de Ensaios para a Avaliar o Comportamento de Acionamentos Controlados por Inversores PWM JOSÉ ANTONIO CORTEZ, ADERBAL DE ARRUDA PENTEADO JR.
- BT/PEA/9717 Integração de Técnicas de Diagnóstico de Falhas em Motores de Indução Trifásicos ao Sistema de Gerenciamento da Manutenção Industrial JOSÉ A. URCIA MISARI, CICERO COUTO DE MORAES
- BT/PEA/9801 Análise de Confiabilidade para Gerenciamento Operacional de Sistemas Automatizados de Pesagem Rodo-Ferroviária - RUBENS LOPES ROLIM, CÍCERO COUTO DE MORAES
- BT/PEA/9802 Projeto de um Ondulador Híbrido e Estudo de Onduladores Derivados de Solenóide, para Utilização em Laser a Elétrons Livres FRANCISCO SIRCILLI NETO
- BT/PEA/9803 Configuração de Redes de Distribuição de Energia Elétrica com Múltiplos Objetivos e Incertezas através de Procedimentos Heuristicos CARLOS C. BARIONI DE OLIVEIRA, NELSON KAGAN
- BT/PEA/9804 Conceituação e Aplicação de Metodologia de Gerenciamento pelo Lado da Demanda em uma Empresa Distribuidora de Energia Elétrica - FERNANDO MONTEIRO DE FIGUEIREDO, JOSÉ ANTÓNIO JARDINI
- BT/PEA/9805 Acoplamento Circuito Elétrico Método dos Elementos Finitos em Regime Transitório Utilizando a Metodologia de Dommel NANCY MIEKO ABE, JOSÉ ROBERTO CARDOSO
- BT/PEA/9806 Modelo de Arco Elétrico Aplicado ao Estudo da Interrupção da Corrente em Disjuntores de Média Tensão LUCILIUS CARLOS PINTO, LUIZ CERA ZANETTA JR.
- BT/PEA/9807 Proteção para Falta de Alta Impedância Utilizando o Sistema de Rádio Troncalizado MARCO ANTONIO BRITO, EDUARDO CESAR SENGER
- BT/PEA/9808 Contribuição ao Estudo e Projeto dos Motores Síncronos de Relutância IVAN EDUARDO CHABU, JOSÉ ROBERTO CARDOSO
- BT/PEA/9809 Cabos Cobertos: Metodologia para a Determinação da Espessura da Cobertura ANTONIO PAULO DA CUNHA, JOSÉ ANTÔNIO JARDINI
- BT/PEA/9810 Eletrificação Rural Avaliações em São Paulo MARCELO APARECIDO PELEGRINI, FERNANDO SELLES RIBEIRO
- BT/PEA/9811 Politica de Eletrificação Rural em São Paulo LUIZ HENRIQUE ALVES PAZZINI, FERNANDO SELLES RIBEIRO
- BT/PEA/9812 Uso Racional e Eficiente de Energia Elétrica: Metodologia para a Determinação dos Potenciais de Conservação dos Usos Finais em Instalações de Ensino e Similares - ANDRÉ LUIZ MONTEIRO ALVAREZ, MARCO ANTONIO SAIDEL
- BT/PEA/9813 Diretrizes para a Regulação da Distribuição de Energia Elétrica JAMES S. S. CORREIA, LINEU BELLICO DOS REIS

- BT/PEA/9814 Distribuição da Tensão de Impulso em Enrolamentos de Transformadores de Distribuição PEDRO LUÍS SANTUCCI DE MENDONÇA, AUGUSTO FERREIRA BRANDÃO JÚNIOR
- BT/PEA/9815 Estudo Comparativo entre os Diversos Métodos de Determinação do Rendimento de Motores de Indução -FRANCISCO ANTONIO MARINO SALOTTI, ORLANDO SILVIO LOBOSCO
- BT/PEA/9816 A Nodal Analysis Approach Applied to Electric Circuits Coupling in Magnetodynamic 2D FEM MAURÍCIO
- BT/PEA/9817 Informatização e Automação dos Órgãos Gestores de Mão de Obra EDUARDO MARIO DIAS, CÍCERO
- BT/PEA/9818 Freqüência de Ocorrência de Sobretensões Originárias de Descargas Atmosféricas em Linhas de Distribuição
- BT/PEA/9819 Um Método de Imposição de Pólos no Estudo da Estabilidade de Redes Elétricas a Pequenas Perturbações –
- BT/PEA/9820 Inter-Relação do Planejamento Agregado de Investimentos com o Planejamento Localizado de Sistemas de Distribuição de Energia Elétrica – JUCEMAR SALVADOR SIMÕES, NELSON KAGAN
- BT/PEA/9821 A Produção de Energia Através das Células de Combustível JOSÉ LUIZ PIMENTA PINHEIRO, LINUE
- BT/PEA/9822 Automação de Processos Revisão e Tendências SERGIO LUIZ PEREIRA
- BT/PEA/9823 Metodologia para Seleção e Gerenciamento de Transformadores e Distribuição, Aplicando Técnicas de Redes Neutrais Artificiais – SE UN AHN, JOSÉ ANTONIO JARDINI
- BT/PEA/9901 Contribuição ao Modelamento e Simulação de Motores em Îmãs Permanentes e Comutação Eletrônica de Alta Rotação – WANDERLEI MARINHO DA SILVA, CLOVIS GOLDEMBERG
- BT/PEA/9902 Estudos de Sistemas de Potência e Automação: Plantas Industriais de Grande Porte MAURÍCIO G. M.
- BT/PEA/9903 Synchronous Machines Parameters Identification Using Load Reejection Test Data E. C. BORTONI, J. A.
- BT/PEA/9904 Indentificação de Locais e Opções Tecnológicas para Implantação de Termoelétricas no Sistema Elétrico Brasileiro: Contribuição ao Estado da Arte e Aplicação ao Caso do Gás Natural – ELIANA APARECIDA
- BT/PEA/9905 Sistema de Manutenção Preventiva de Subestações: Uma Abordagem Semántica para o Monitoramento Integrado – ELIAS ROMA NETO, ADERBAL DE ARRUDA PENTEADO JR.
- BT/PEA/9906 Previsão das Perdas Magnéticas na Presença de Harmônicos MARCELO S. LANCAROTTE, ADERBAL DE
- BT/PEA/9907 Comportamento do Aterramento de Sistemas e Equipamentos de Distribuição sob Impulso CLEVERSON
- BT/PEA/9908 Modelo de Sistema de Supervisão e Controle Operacional de Terminais de Contéineres LEVI SALVI,
- BT/PEA/9909 Medição de Altas Correntes em Frequência Industrial: Instrumentação, Dispositivos de Medição e Calibrações
- BT/PEA/9910 Conversores Auto-Comutados Aplicados em Derivações de Sistemas de Transmissão de Corrente Continua e
- BT/PEA/9911 Análise de Desempenho de Sistemas de Aterramento em Alta Freqüência pelo Método dos Elementos Finitos - ANGELO PASSARO, JOSÉ ROBERTO CARDOSO, VIVIANE CRISTINE SILVA
- BT/PEA/9912 Simulação de Motores "Shaded Pole": Uma Nova Abordagem Analítico-Numérica PASCHOAL SPINA
- BT/PEA/9913 Estimadores de Estado para Sistemas de Potência: Análise do Estado da Arte CLEBER ROBERTO
- BT/PEA/9914 Análise sobre o Comportamento de Sistemas de Proteção Contra Descargas Atmosféricas Utilizando o Método dos Elementos Finitos - SEBASTIÃO C. GUIMARÃES JR., LUCIANO MARTINS NETO, JOSÉ
- BT/PEA/9915 Automatização do Atendimento a Reclamações de Interrupção de Energia Elétrica H. K. Kiyohara, L. C.
- BT/PEA/9916 Controle Digital de Tensão e Reativos PAULA S. D. KAYANO, LUIZ CARLOS MAGRINI, LINEU BELICO DOS REIS, ANTONIO JOSÉ GOMES CARMO, ELIAS DE SOUZA NETO
- BT/PEA/9917 Localizadores Digitais de Faltas em Linhas de Transmissão CARLOS EDUARDO DE MORAIS PEREIRA,
- BT/PEA/9918 Religamento Monopolar em Linhas de Transmissão Propostas de Uma Ferramenta para Investigações
- BT/PEA/9919 Viabilidade Técnica de Abertura Monopolar Permanente em Linhas de Transmissão Extra Alta Tensão –

- BT/PEA/9920 Avaliação do U-Net em Custers com Rede My com Rede Myrinet PAULO A. GEROMEL, SERGIO T.
- BT/PEA/9921 SAG Sistema de Apoio Gerencial via Internet ADRIANO GALINDO LEAL, JOSÉ ANTONIO JARDINI
- BT/PEA/9922 Desequilibrio de Tensão em Redes Secundárias de Distribuição PAULO VINÍCIUS SANTOS VALOIS,
- BT/PEA/9923 Sistema Não Lineares Controlados pela Lógica Difusa: Uma Aplicação em Acionamentos Constituídos por Motores Assincronos – WERNER W. PACHECO LUJAN, CICERO COUTO MORAES
- BT/PEA/9924 Arborescência em Cabos Elétricos de Média e Alta Tensão JOÃO JOSÉ ALVES DE PAULA, ADERBAL DE
- BT/PEA/9925 Estudo para Otimização de Desempenho de Plantas Industriais Automatizadas ANTONIO ORLANDO UGULINO, SERGIO LUIZ PEREIRA
- BT/PEA/9926 Simulação e Análise de Desempenho de Processos Visando a Otimização de Sistemas Integrados de Produção – CÍCERO COUTO DE MORAES, SERGIO LUIZ PEREIRA, JOSÉ ROBERTO R. DE GODOY
- BT/PEA/9927 Automação Moderna de Processos: Análise de Necessidade, Viabilidade e Tendências Tecnológicas -
- BT/PEA/9928 Modelo de Compensação Série Controlada Aplicado ao Estudo do Amortecimento de Oscilações em Sistemas de Potência – JOSÉ ROBERTO PASCON, LUIZ CERA ZANETTA JÚNIOR
- BT/PEA/9929 Cálculo de Trajetórias de Elétrons em Estruturas Magnéticas YASMARA CONCEIÇÃO DE POLLI, VIVIANE
- BT/PEA/0001 Monitoramento de Transformadores de Potência Direcionado à Manutenção com Base nas Condições -SERGIO COSTA, AUGUSTO F. BRANDÃO JR.
- BT/PEA/0002 Redes Neurais Artificiais Aplicadas a Estudos de Subestações de Alta Tensão Abrigadas Frente a Ensaios de Impulsos Atmosféricos – ANDRÉ NUNES DE SOUZA, FERNANDO SELLES RIBEIRO
- BT/PEA/0003 Relé Diferencial para Transformador de Potência Implementado com uma Rede MLP RICARDO CANELOI DOS SANTOS, EDUARDO CESAR SENGER
- BT/PEA/0004 Minimização de Residuos Sólidos Urbanos e Conservação de Energia PAULO HÉLIO KANAYAMA, LINEU
- BT/PEA/0005 Modelamento de Conversores CC/CC por meio da Chave PWM LUIZ FERNANDO P. DE MELLO, WALTER
- BT/PEA/0006 Estudo de Surtos em Redes Secundárias de Distribuição Causados por Descargas Atmosféricas Diretas na Rede Primária – WELSON BASSI, JORGE M. JANISZEWSKI
- BT/PEA/0007 Modelagem da Magnetohidrodinâmica em 3D pelo Método de Elementos Finitos SERGIO LUÍS LOPES VERARDI, JOSÉ ROBERTO CARDOSO
- BT/PEA/0008 Metodología para Avaliação do Comportamento e Vida Útil de Motores Alimentados por Fontes Assimétricas de Tensão – JOSÉ LUIZ ANTUNES DE ALMEIDA, EDUARDO MÁRIO DIAS
- BT/PEA/0009 Esquema de Aterramento Hibrido (EAH) FRANCISCO CARLOS PARQUET BIZZARRIA, ADERBAL DE ARRUDA PENTEADO JUNIOR
- BT/PEA/0010 Ferro-Ressnância em Redes Subterrâneas de Distribuição REGINA LÚCIA LAMY, CARLOS MÁRCIO
- BT/PEA/0011 A Análise do Ciclo de Vida e os Custos Completos no Planejamento Enérgico CLÁUDIO ELIAS CARVALHO, LINEU BELICO DOS REIS
- BT/PEA/0012 A Agregação de Valor à Energia Elétrica através da Gestão Integrada de Recursos ANDRÉ LUIZ VEIGA GIMENES, LINEU BELICO DOS REIS
- BT/PEA/0013 Tochas a Plasma: Características Básicas para Projeto e Construção MIGUEL BUSSOLINI, ORLANDO
- BT/PEA/0014 Um Estudo de Correntes Induzidas em Meios Maciços Ferromagnéticos Aplicação no Projeto de Freios de Correntes Parasitas – ALVARO BATISTA DIETRICH, IVAN EDUARDO CHABU
- BT/PEA/0015 Incorporação de Sistemas de Co-Geração aos Sistemas Elétricos de Potência: Um Roteiro para Avaliação de Viabilidade Técnico-Econômica – LUÍZ DONIZETI CLEMENTINO, LINEU BELICO DOS REIS
- BT/PEA/0016 Metodologia para Análise da Posse de Equipamentos e Hábitos de Consumo de Energia Elétrica em Baixa Tensão – ALEXANDRE ANGRISANO, RONALDO P. CASOLARI, JOSÉ ANTONIO JARDINI
- BT/PEA/0017 Análise de Índices de Qualidade no Planejamento Agregado de Investimentos em Ambiente de Incertezas CARLOS ALEXANDRE DE SOUSA PENIN, NELSON KAGAN
- BT/PEA/0018 Controle de Descarregadores de Navios Utilizando Lógica Fuzzy ANTONIO DAGOBERTO DO AMARAL JÚNIOR, LUIZ CERA ZANETTA JÚNIOR
- BT/PEA/0019 The Energy Absorption Capacity of Metal Oxide Surge Arresters An Approach for Switching Surges -MANUEL LUÍS BARREIRA MARTINEZ, LUIZ CERA ZANETTA JÚNIOR

- BT/PEA/0020 Utilização Racional de Energia Elétrica em Instalações Elétricas Comerciais Empregando Sistemas de Automação JOEL ROCHA PINTO, AUGUSTO FERREIRA BRANDÃO JÚNIOR
- BT/PEA/0021 Sistema Automatizado para Aquisição de Dados de Consumo de Energia Elétrica, Água e Gás JOSÉ WALTER PARQUET BIZARRIA, JOSÉ ANTONIO JARDINI
- BT/PEA/0022 Estudo de Ignitores de Pulsos Superpostos para Lámpadas de Vapor de Sódio de Alta Pressão ALEXANDER FERNÁNDEZ CORREA, WALTER KAISER
- BT/PEA/0023 Desenvolvimento de Medidor Eletrônico de Energia Elétrica de Custo Competitivo Associado a Estudos sobre Medições de Energia Elétrica DOUGLAS ALEXANDRE DE A. GARCIA, SERGIO LUIZ PEREIRA
- BT/PEA/0024 Uma Visão Educacional do Método dos Elementos Finitos Aplicado ao Eletromagnetismo LUIZ NATAL ROSSI, JOSÉ ROBERTO CARDOSO
- BT/PEA/0025 An Application of the Finite-Element Method to Desig a Switched Reluctance Motor PEDRO P. DE PAULA, SÍLVIO I. NABETA, JOSÉ R. CARDOSO
- BT/PEA/0026 Algoritmos de Alta Velocidade para a Proteção de distância de Linhas de Transmissão ERVALDO GARCIA JÚNIOR, EDUARDO CÉSAR SENGER
- BT/PEA/0027 Sistema de Aquisição e Tratamento de Dados para a Monitoração da Tensão em Regime Permanente SILVIO XAVIER DUARTE, CARLOS MÁRCIO VIEIRA TAHAN
- BT/PEA/0028 Análise da Confiabilidade e Manutenabilidade de Topologias do Sistema de Telefonia Fixa RICARDO ELIAS CAETANO, CÍCERO COUTO DE MORAES
- BT/PEA/0029 Aspectos Tecnológicos Referentes à Repotenciação de Usinas Termoelétricas MÁRCIO NESTOR ZANCHETA, ADERBAL DE ARRUDA PENTEADO JR
- BT/PEA/0030 Controle de Iluminação Utilizando Dimerização por Lógica Fuzzy, Compensando a Iluminação Natural ANDRÉ VITOR BONORA, EDUARDO MÁRIO DIAS
- BT/PEA/0031 Identificação do Nível de Redundância das Medidas de um Sistema, para Efeito da Estimação de seus Estados JOÃO BOSCO AUGUSTO LONDON JUNIOR, NEWTON GERALDO BRETAS
- BT/PEA/0101 Aplicação do Controlador de Subestação a um Sistema Digital Integrado de Supervisão e Controle RENATO CAMPANINI TEIXEIRA, AUGUSTO F. BRANDÃO JR.
- BT/PEA/0102 Uma proposta de um Filtro Ativo de Tensão para Aplicações em Redes Elétricas JOSÉ TOSHIYUKI HONDA, JOSÉ ANTONIO JARDINI
- BT/PEA/0103 Causas de Falhas e Critérios de Reaproveitamento de Transformadores de Distribuição de Sistemas de Distribuição de Energia Elétrica MIGUEL ANGEL HERNANDEZ TORRES, MARCOS ROBERTO GOUVÊA
- BT/PEA/0104 Um Sistema para Avaliação de Indicadores de Qualidade da Distribuição de Energia Elétrica GERSON YUKIO SAIKI, JOSÉ ANTONIO JARDINI
- BT/PEA/0105 Métodos de Análise de Sistemas de Aterramento de Linhas Metroviárias ARMANDO DE OLIVEIRA ALVES DE SOUZA, LUIZ LEBENSZTAJN
- BT/PEA/0106 Caracterização de Acionamentos na Indústria de Beneficiamento de Minério de Ferro FERNANDO MARCELO CALADO DE ANDRADE, IVAN EDUARDO CHABU
- BT/PEA/0107 Impacto da Privatização das Concessionárias de Distribuição de Energia Elétrica na Qualidade da Energia Suprida MITSUO NITTA, ADERBAL DE AARUDA PENTEADO JÚNIOR
- BT/PEA/0108 Estudo Comparativo de Ensaios de Chapa Única para Medidas de Perdas em Aços Elétricos RONALDO ALVES SOARES, CARLOS SHINITI MURANAKA
- BT/PEA/0109 Modelagem de Transformadores de Distribuição para Altas Freqüências ARNALDO G. KANASHIRO, ALEXANDRE PIANTINI, GERALDO F. BURANI
- BT/PEA/0110 Análise e Localização de Descargas Parciais em Transformadores de Potências por Métodos Elétricos HÉDIO TATIZAWA, GERALDO FRANCISCO BURANI
- BT/PEA/0111 A Eletrificação Rural em São Paulo Custos e Padrões LUIZ FERNANDO KURAHASSI, FERNANDO SELLES RIBEIRO
- BT/PEA/0112 A Escola Rural sem Luz em São Paulo OSWALDO TADAMI ARIMURA, FERNANDO SELLES RIBEIRO
- BT/PEA/0113 Eletrificação Rural no Novo Cenário: O Caso de São Paulo LUIZ HENRIQUE ALVES PAZZINI, FERNANDO SELLES RIBEIRO
- BT/PEA/0114 Simulação do Aterramento em Sistemas MRT OCTÁVIO FERREIRA AFFONSO, FERNANDO SELLES RIBEIRO
- BT/PEA/0115 Otimização do Dimensionamento de Equipamentos para Automação de Terminal de Contêineres FÁBIO LOPES CARNELOS. EDUARDO MÁRIO DIAS
- BT/PEA/0116 Sistema de Localização de Faltas para Redes Primárias de Distribuição GIOVANNI MANASSERO JUNIOR, EDUARDO CESAR SENGER
- BT/PEA/0117 Proteção de Distância para Linhas de Transmissão com Compensação Série JOSÉ GERALDO BARRETO MONTEIRO DE ANDRADE, EDUARDO CESAR SENGER

- BT/PEA/0118 Proposta de Acionamento Microprocessado para Empilhadeira Elétrica MARCO AURÉLIO VILELA DE OLIVEIRA, WALTER KAISER
- BT/PEA/0119 Técnicas "Anti-Windup" LUIZ AUGUSTO PEREIRA FERNANDES. CLÓVIS GOLDEMBERG
- BT/PEA/0120 Regulador de Tensão de Gerador HERALDO SILVEIRA BARBUY, CLÓVIS GOLDEMBERG
- BT/PEA/0121 Eficiência Operativa e Confiabilidade de Equipamentos Associados à Automação de Sistemas de Distribuição de Energia Elétrica –REINALDO BURIAN, CÍCERO COUTO DE MORAES
- BT/PEA/0122 Cálculo de Forças sobre İmās Permanentes: Uma Análise do Problema 23 do Team Workshop HÉLIO JOSÉ DAMANTE, LUIZ LEBENSZTAJN
- BT/PEA/0123 Análise de Guias de Ondas Ópticos pelo Método dos Elementos Finitos MARCOS A. R. FRANCO, JOSÉ ROBERTO CARDOSO
- BT/PEA/0124 Transient Induced Voltage Computaction in a High Building Struck by Lightning CARLOS A. F. SARTORI, A. ORLANDI, JOSÉ ROBERTO CARDOSO
- BT/PEA/0125 Metodologia para Cálculo de Perdas Técnicas por Segmento do Sistema de Distribuição ANDRÉ MÉFFE, CARLOS CÉSAR BARIONI DE OLIVEIRA
- BT/PEA/0126 Calculo da Distribuição da Corrente de Falta em Sistemas de Aterramento de Redes Primárias GILBERTO DE MAGALHÃES FALCOSKI, ADERBAL DE ARRUDA PENTAEDO JR.
- BT/PEA/0127 Acionamento de Velocidade Variável Utilizando Motores de Corrente Alternada Assíncronos JOSÉ ALBERTO MARQUES, IVAN EDUARDO CHABU
- BT/PEA/0201 Unified Power Quality Conditioner with Energy Storing Module for Medium Voltage Adjustable Speed Drive VALBERTO FERREIRA DA SILVA, ADERBAL DE ARRUDA PENTEADO JUNIOR
- BT/PEA/0202 Simulação de Marcha de Composição Ferroviária Acionada por Motores de Indução e PWM CASSIANO LOBO PIRES, SILVIO IKUYO NABETA
- BT/PEA/0203 Conservação de Energia Elétrica em Edificações Comerciais: Sistemas de Ar Condicionado com Central de Água Gelada – TEODORO MONGE DE AMORIM FILHO, MARCO ANTONIO SAIDEL
- BT/PEA/0204 Reconfiguração de Redes Primárias de Distribuição de Energia Elétrica Utilizando Sistemas de Informações Geográficas FERDINANDO CRISPINO, HERNAN PRIETO SCHMIDT
- BT/PEA/0205 Previsão de Carga em Sistemas de Distribuição de Energia Elétrica Utilizando Redes Neurais Artificiais JORGE YASUOKA, HERNAN PRIETO SCHMIDT
- BT/PEA/0206 Correção de Distorções Harmônicas, em Sistemas Industriais, Através de Filtros Passivos ANTONIO PESTANA NETO, LUIZ CERA ZANETTA JÚNIOR
- BT/PEA/0207 Proposta de Metodologia para Controle da Qualidade do Fornecimento de Energia Elétrica a Partir da Segmentação do Mercado Consumidor em Familias de Redes Elétricas RODOLFO COLI DA CUNHA, CARLOS MÁRCIO VIEIRA TAHAN
- BT/PEA/0208 Modelagens das Funções de uma Subestação Automatizada Empregando Modelos Orientados a Objetos MILTHON SERNA SILVA, AUGUSTO F. BRANDÃO JR
- BT/PEA/0209 Automação de Instalações Elétricas Prediais Através da Internet ROBSON REBOUÇAS CARDOSO, AUGUSTO FERREIRA BRANDÃO JUNIOR
- BT/PEA/0210 Identificação Automática de Vagões na Área Portuária: Uma Solução com Análise de Imagens EDUARDO MANTOVANI, EDUARDO MÁRIO DIAS
- BT/PEA/0211 Concepção de Sistema de Supervisão e Controle no Processo de Descarga Rodoviária em Terminais Portuários Utilizando Identificadores Automáticos de Veículos – ROGÉRIO COSTA DE OLIVEIRA, EDUARDO MÁRIO DIAS
- BT/PEA/0212 Metodologia para Análise de Perda de Vida Útil de Transformadores, Alimentando Cargas não Lineares ARLINDO GARCIA FILHO, EDUARDO MÁRIO DIAS
- BT/PEA/0213 Sistema de Automação para Gestão do Carregamento de Transformadores Baseado na Confiabilidade JOSÉ LUIZ PEREIRA BRITTES, JOSÉ ANTONIO JARDINI, HERNAN PRIETO SCHMIDT
- BT/PEA/0214 A Conservação, Considerando Aspectos Relacionados à Qualidade de Energia Elétrica na Indústria Têxtil: Estudo de Caso MÁRIO CÉSAR GIACCO RAMOS, ADERBAL DE ARRUDA PENTEADO JR.
- BT/PEA/0215 Cálculo de Parâmetros Operacionais de Desempenho de Redes Primárias de Distribuição Utilizando Redes Neurais Artificiais – ANA MARÍA GARCÍA CABEZAS, HERNAN PRIETO SCHMIDT
- BT/PEA/0216 Análise Dinâmica de um Motor de Indução Linear pelo Método dos Elementos Finitos EDUARDO FERREIRA DA SILVA, SILVIO IKUYO NABETA
- BT/PEA/0217 Reômetro Rotativo de Taxa de Cisalhamento Imposta Acionado por Motor de Passo SAMUEL E. DE LUCENA, WALTER KAISER
- BT/PEA/0218 Acionamentos com Motores Brushless para Sistemas de Ventilação de Emergência RENATO DE ALMEIDA PEREIRA, CÍCERO COUTO DE MORAES
- BT/PEA/0219 Retificador Trifásico de Alta Eficiência para Tochas de Plasma MARIO GONÇALVES GARCIA JÚNIOR, LOURENÇO MATAKAS JÚNIOR

- BT/PEA/0220 Impacto de Modelos de Mercado Espacial no Planejamento de Sistemas de Distribuição de Energia –
- BT/PEA/0221 Proposta de Recuperador Dinâmico para Correção de Afundamentos de Tensão FRANCISCO COSTA
- BT/PEA/0222 Análise Preditiva de Defeitos em Motores de Indução Trifásicos Utilizando a Corrente de Alimentação JOSÉ
- BT/PEA/0223 Cálculo de Iluminação Auxiliado por Computadores NESTOR CÂNDIDO FERREIRA SEGUNDO, MARCO
- BT/PEA/0224 Otimização de Sistemas de Distribuição de Energia Elétrica Utilizando Geração Distribuída JAMEA
- BT/PEA/0301 Algoritmo Digital para a Proteção da Interligação Concessionária Indústria Operando em Sistemas de Cogeração - FRANCISCO ANTONIO REIS FILHO, EDUARDO C. SENGER
- BT/PEA/0302 Dimensionamento da Infra-Estrutura para Automação de Terminais de Granéis Sólidos FABIO DEL PAPA,
- BT/PEA/0203 Desenvolvimento e Aplicação de Metodologia para Estudos de Viabilidade de Plantas de Cogeração –
- BT/PEA/0304 Applying Object-Oriental Technology to Project Hydroelectric Power Plant SCADA Systems CARLOS
- BT/PEA/0305 Impactos Econômicos Causados pelos Distúrbios na Rede Básica de Energia Elétrica JOSÉ JULIO DE
- BT/PEA/0306 Fault Location in Transmission Lines Using One Terminal Post Fault Voltage Data CARLOS EDUARDO DE
- BT/PEA/0307 Impactos da Aplicação de Lâmpadas Fluorescentes Compactas em Habitações de Baixa Renda no Sistema - Impactos da Apricação de Lampadas Fluorescentes Compactas em mabitações de Baixa Nenda no Sistema de Distribuição de Energia Elétrica – LUIS VENTURA CASTELLS PEÑA, CARLOS MÁRCIO VIEIRA TAHAN
- BT/PEA/0308 Análise e Melhoria do Controle Automático de Concentração de uma Planta de Ácido Nítrico Diluído ELCIO
- BT/PEA/0309 Criação de Valor na Avaliação de Projetos Termelétricos sob Condições de Risco no Mercado Brasileiro de Energia Elétrica – WAGNER DA SILVA LIMA, DOREL SOARES RAMOS
- BT/PEA/0310 Zoneamento Sócio-Econômico-Ecológico como Instrumento de Apoio a Regulação da Energia Elétrica LUIZ
- BT/PEA/0311 Analise de Transientes em Motor de Indução Modelo ABC/abc Aplicado ao Modelamento e Simulação de Soft-Starters - LUIS CARLOS RIBEIRO DOS SANTOS - CLOVIS GOLDEMBERG
- BT/PEA/0312 Modelamento Matemático e Análise do Funcionamento do Acionamento para Motores de Anéis em Cadeia
- BT/PEA/0313 Considerações do Ambiente Eletromagnético Urbano na Análise de Interferências Eletromagnéticas em Veiculos Automotores - GLÁUCIO SANTOS - CARLOS ANTONIO FRANÇA SARTORI
- BT/PEA/0314 Contribuição a Aplicação das Wavelets na Eletrostática ALDO ARTUR BELARDI, JOSÉ ROBERTO
- BT/PEA/0315 Avaliação Ponderada da Hidreletricidade e Termeletricidade Através dos Custos Completos JULIO HENRIQUE BOARATI, MIGUEL EDGAR MORALES UDAETA
- BT/PEA/0401 Previsão Espacial de Carga em Sistemas de Distribuição Utilizando Técnicas de Inteligência Artificial e Plataforma GIS – FRANZ HENRY PEREYRA ZAMORA, CARLOS MARCIO VIEIRA TAHAN
- BT/PEA/0402 Modeling of Impulse Stressed Distribution Transformer Winding Oriented to Maintenance Purposes PEDRO LUÍS SANTUCCI DE MENDONÇA, AUGUSTO FERREIRA BRANDÃO JÚNIOR
- BT/PEA/0403 Sistema para o Gerenciamento de Imóveis e Ocupação das Faixas de Linhas de Transmissão Utilizando Dados Georreferenciados e de Sensoriamento Remoto – MAURICIO GEORGE MIGUEL JARDINI, HERNAN
- BT/PEA/0404 Proposta de Novas Topologias de Conversores "C-DUMP" para o Acionamento de Motores e Geradores de Relutância Chaveados - WANDERLEI MARINHO DA SILVA, CLOVIS GOLDEMBERG
- BT/PEA/0405 Proposta de Aplicação de Motor de Indução Linear Tubular na Extração de Petróleo BERNARDO
- BT/PEA/0406 Aplicação da Automação Elétrica no Controle de Temperatura de Grandes Edificios MARLENE DA SILVA
- BT/PEA/0407 Metodologia de Segurança para Intercâmbio Eletrônico de Documentos Aplicado ao Sistema Portuário
- BT/PEA/0408 Proposta de um Novo Protocolo de Comunicação para a Saída Serial de Usuário de Medidores de Energia Elétrica - ANDRÉ LUIZ MONTERO ALVAREZ, MARCO ANTONIO SAIDEL
- BT/PEA/0409 Estimação de Estado da Rede Durante Variações de Tensão de Curta Duração para o Monitoramento de Qualidade de Energia Elétrica – TANIA PAOLA LEDESMA ARANGO, NELSON KAGAN

BT/PEA/0410 – Algoritmo Baseado em Redes Neurais Artificiais para a Proteção de Distância de Linhas de Transmissão – RICARDO CANELOI DOS SANTOS, EDUARDO CESAR SENGER



